

# یک رویکرد یادگیری انتقالی با شبکه عصبی کانولوشنال برای تشخیص افراد دارای ماسک از روی تصاویر

ابوالفضل یونسی<sup>۱</sup>، دانشجو، رضا افروزیان<sup>۲</sup>، استادیار، یوسف صیفاری<sup>۳</sup>، استادیار

۱- دانشکده فنی و مهندسی میانه - دانشگاه تبریز - میانه - ایران - younesi.abolfazl@yahoo.com

۲- دانشکده فنی مهندسی میانه - دانشگاه تبریز - میانه - ایران - afrouzian@tabrizu.ac.ir

۳- دانشکده فنی و مهندسی - دانشگاه مراغه - مراغه - ایران - seyfari@maragheh.ac.ir

**چکیده:** با توجه به همه‌گیری ویروس کرونا (کووید-۱۹) و انتقال سریع آن در سرتاسر دنیا، جهان با یک بحران بزرگ روبرو شده است. برای جلوگیری از شیوع ویروس کرونا سازمان بهداشت جهانی (WHO) استفاده از ماسک و رعایت فاصله اجتماعی در مکان‌های عمومی و شلوغ را بهترین روش پیشگیرانه معرفی کرده است. این مقاله یک سیستم برای شناسایی افراد دارای ماسک پیشنهاد می‌کند که بر پایه یادگیری انتقالی و معماری Inception v3 است. روش پیشنهادی با استفاده از دو مجموعه داده SMFD (Simulated Mask Face Dataset) و (MaskedFace-Net) (MFN) آموزش می‌بیند و با تنظیم بهینه فرآیندها و طراحی دقیق بخش تماماً متصل سعی می‌کند دقت سیستم پیشنهادی را افزایش دهد. از مزایای سیستم پیشنهادی این است که می‌تواند علاوه بر صورت‌های دارای ماسک و بدون ماسک، حالت‌های استفاده غیر صحیح از ماسک را نیز تشخیص دهد. از این روش پیشنهادی تصاویر چهره ورودی را به سه دسته تقسیم‌بندی خواهد کرد. نتایج آزمایشی، دقت و کارایی بالای روش پیشنهادی را در موضوع فوق نشان می‌دهند؛ بطوری‌که این مدل در داده‌های آموزش به دقت 99.47% و در داده‌های آزمایشی به دقت 99.33% دست یافته است.

**واژه‌های کلیدی:** ماسک، کووید-۱۹، یادگیری انتقالی، شبکه عصبی کانولوشنال، معماری InceptionV3.

## A transfer learning approach with convolutional neural network for Face Mask Detection

Abolfazl Younesi, Student<sup>1</sup>, Reza Afrouzian, Assitant Professor<sup>2</sup>, Yousef Seyfari<sup>3</sup>, Assistant Professor<sup>3</sup>

1- Miyaneh Faculty of Engineering, University of Tabriz, Miyaneh, Iran, Email: younesi.abolfazl@yahoo.com

2- Miyaneh Faculty of Engineering, University of Tabriz, Miyaneh, Iran, Email: afrouzian@tabrizu.ac.ir

3- Faculty of Engineering, University of Maragheh, Maragheh, Iran, Email: seyfari@maragheh.ac.ir

**Abstract:** Due to the epidemic of the coronavirus (Covid-19) and its rapid spread around the world, the world has faced a huge crisis. To prevent the spread of the coronavirus, the World Health Organization (WHO) has introduced the use of masks and keeping social distance as the best preventive method. So, developing an automatic monitoring system for detection of facemask in some crowded places is essential. To do this, we propose a mask recognition system based on transfer learning and Inception v3 architecture. In the proposed method, two datasets are used simultaneously for training including: Simulated Mask Face Dataset (SMFD) and MaskedFace-Net (MFN). This paper tries to increase the accuracy of the proposed system by optimally setting hyper-parameters and accurately designing the fully connected layers. The main advantage of the proposed method is that in addition to masked and unmasked face, it can also detect cases of incorrect use of mask. Therefore, the proposed method classifies the input face images into three categories. Experimental results show the high accuracy and efficiency of the proposed method; so that, this method has achieved to accuracy of 99.47% and 99.33% in training and test data respectively.

**Keywords:** Mask, Covid-19, Transfer Learning, convolutional neural network, Inception v3.

تاریخ ارسال مقاله: ۱۴۰۰/۰۷/۲۴

تاریخ اصلاح مقاله: ۱۴۰۰/۱۱/۲۰

تاریخ پذیرش مقاله: ۱۴۰۰/۱۱/۲۰

نام نویسنده مسئول: رضا افروزیان

نشانی نویسنده مسئول: ایران - میانه - جاده ترک - دانشگاه تبریز - دانشکده فنی مهندسی میانه

## ۱- مقدمه

شبکه پیشنهادی و دسته‌بندی تصاویر چهره به سه کلاس دارای ماسک، بدون ماسک و فرم ناصحیح.

روش پیشنهادی در این مقاله به‌گونه‌ای طراحی شده است که بتواند افراد دارای ماسک را از افرادی که ماسک نزنده‌اند و یا حتی ماسک را به گونه درست بر صورت خود قرار نداده‌اند، تشخیص دهد. این روش بر پایه یادگیری انتقالی و معماری Inception v3 توانسته این کار را در کمترین زمان ممکن و با بیشترین دقت انجام دهد.

بخش‌بندی ادامه مقاله به این صورت خواهد بود: در بخش دوم مقالات موجود در حوزه تشخیص افراد دارای ماسک مورد بررسی قرار می‌گیرد. بخش سوم ابتدا به توضیح دقیق در مورد پایگاه‌داده‌های مورد استفاده در مقاله می‌پردازد و سپس روش پیشنهادی با جزئیات مورد بررسی قرار می‌گیرد. در بخش چهارم نیز نتایج آزمایشی ارائه می‌شود و در نهایت، بخش آخر شامل نتیجه‌گیری و ارائه پیشنهاداتی برای کارهای آینده خواهد بود.

## ۲- مروری بر کارهای قبلی

یکی از کاربردهای مهم بینایی ماشین که در حال پیشرفت روزافزون است حوزه دسته‌بندی و تشخیص اشیا می‌باشد. به علت شیوع ویروس کرونا (کووید-۱۹) در سال‌های اخیر، محققان و تحلیلگران زیادی علاقه‌مند به استفاده از الگوریتم‌های بینایی ماشین در این حوزه شده‌اند و سعی شده است با استفاده از فناوری‌های تشخیص چهره و دسته‌بندی اشیا، الگوریتم‌هایی را ارائه دهند که به شناسایی افرادی دارای ماسک بپردازند [۴، ۶ و ۱۰]. به دلیل اینکه از شروع بیماری مربوط به همه‌گیری ویروس کرونا حدوداً یک سال و چندین ماه می‌گذرد، از این رو مقالات ارائه شده در این حوزه زیاد نیستند و فقط محدود به چند مقاله و کار تحقیقاتی است که در ماه‌های اخیر منتشر شده‌اند. در این بخش تعدادی از کارهای پیشین مرتبط به طور خلاصه مرور می‌شود.

جیانگ و همکاران در سال ۲۰۲۰ [۱۳] یک آشکارساز یک مرحله ای کارآمد به نام RetinaFaceMask را با استفاده از یک چارچوب مدل هرمی برای شناسایی ماسک صورت ارائه نمودند. این مدل برای اینکه عملکرد بهتری را ارائه دهد از مکانیزم توجه ویژه حذف شی برای بیشتر شدن دقت استفاده می‌کند. دقت روش پیشنهادی ۹۳٪ می‌باشد و همچنین از نقاط قوت این مقاله می‌توان به پیاده‌سازی این مدل بر روی تلفن همراه اشاره کرد که از مدل از پیش آموزش دیده و کم حجم MobileNet استفاده می‌کند. در سال ۲۰۲۱ پریتی ناگارتی و همکاران [۱۲] با استفاده از آشکارساز SSDMNv2 و MobileNetV2 یک سیستم تشخیص ماسک به نام SSDMNv2 با میانگین دقت ۹۳٪ ارائه نمودند. محمد لویی و همکاران در سال ۲۰۲۱ از ResNet-50 برای آموزش سیستم و از ماشین بردار پشتیبان جهت تشخیص چهره افرادی که از ماسک استفاده می‌کنند بهره بردند. آن‌ها در مجموعه داده چهره‌های واقعی دارای ماسک (RMFD) و مجموعه داده شبیه‌سازی

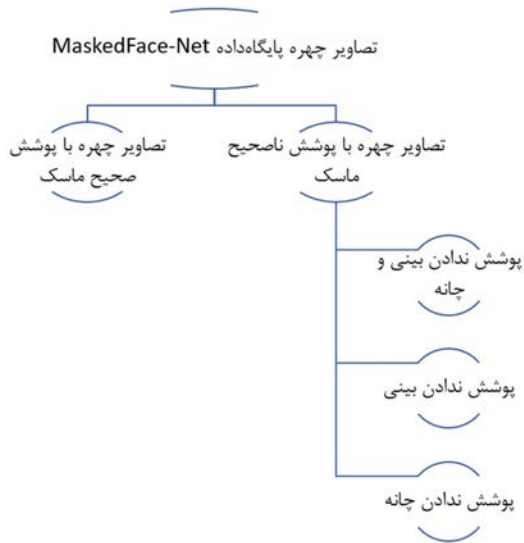
قبل از شیوع ویروس کرونا (کووید-۱۹) عده کمی از مردم در جهت حفظ سلامت خود در برابر آلودگی هوا از ماسک استفاده می‌کردند. بعد از همه‌گیری کووید-۱۹ روند استفاده از ماسک برای جلوگیری از شیوع کووید-۱۹ در سرتاسر جهان افزایش یافت. مطالعات نشان می‌دهد که استفاده از ماسک تأثیر بسزایی در کاهش روند انتقال کووید-۱۹ دارد.

به همین دلیل سازمان بهداشت جهانی (WHO) پیشنهاد می‌کند افرادی که در مکان‌های عمومی قرار می‌گیرند از ماسک صورت استفاده کنند [۱۹]. مطابق گزارشات WHO تا روز ۲ مهر ۱۴۰۰ حدود ۲۳۰ میلیون انسان مبتلا به ویروس کووید-۱۹ شناسایی شده‌اند و توصیه سازمان جهانی بهداشت برای جلوگیری از افزایش تعداد مبتلایان به کرونا، واکسینه شدن، استفاده از ماسک و حفظ فاصله اجتماعی است. با این وجود، استفاده کم افراد از ماسک (مخصوصاً در برخی از مکان‌های عمومی) منجر به کاهش رعایت پروتکل‌های بهداشتی می‌شود. به همین دلیل در برخی از مکان‌های عمومی بهتر است نظارت کافی بر استفاده از ماسک صورت پذیرد. در همین راستا، به دلیل سخت و هزینه‌بر بودن نظارت انسانی در استفاده صحیح از ماسک، می‌توان با استفاده از تکنیک‌های هوش مصنوعی، سیستمی را در حوزه بینایی ماشین طراحی کرد. سیستم فوق می‌تواند افراد دارای ماسک را از افراد بدون ماسک و یا حتی افرادی که به فرم صحیح از ماسک استفاده نکرده‌اند، تشخیص دهد.

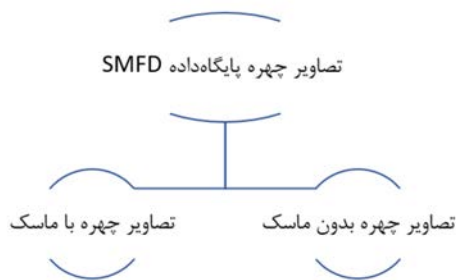
در نتیجه تمامی موارد بالا باعث شده است که دولت‌ها شروع به اعمال جریمه برای افرادی که ماسک نزنده‌اند نمایند تا از شدت انتقال ویروس بکاهند. رشد چشمگیر یادگیری عمیق در سال‌های اخیر باعث شده است که در پژوهش و صنعت در همه زمینه‌ها از یادگیری عمیق استفاده گردد. یکی از مهم‌ترین زمینه‌هایی که از یادگیری عمیق استفاده می‌شود، پردازش تصویر و تشخیص اشیا است [۲۶، ۲۷]. با کمک یادگیری عمیق، موضوعاتی مثل تشخیص اشیا، کلاس‌بندی و تقسیم‌بندی تصاویر با دقت بسیار زیادی در حال انجام است. باتوجه به اینکه نظارت و شناسایی افراد دارای ماسک در حوزه بینایی ماشین و کلاس‌بندی است، می‌توان از یادگیری عمیق و مزایای آن در این حوزه نیز بهره برد. به همین منظور، در این مقاله از تکنیک یادگیری عمیق برای شناسایی و کلاس‌بندی افراد ماسک‌زده در فضاهای عمومی استفاده می‌شود. هدف اصلی این مقاله ارائه سیستمی مبتنی بر یادگیری عمیق برای شناسایی افراد دارای ماسک است تا بدین وسیله بتوان یک سیستم اتوماتیک بدین منظور طراحی کرد.

نوآوری‌های اصلی این مقاله به شرح ذیل است:

- بررسی طراحی‌های مختلف برای بخش دسته‌بندی شبکه و ارائه معماری بهینه برای آن همراه با شبکه Inception v3 که به منظور استخراج ویژگی مورد استفاده قرار می‌گیرد.
- به‌کارگیری هم‌زمان پایگاه داده‌های (MFN)MaskedFace-Net با (SMFD) Simulated Mask Face Dataset برای آموزش و ارزیابی



شکل ۱) ساختار مجموعه داده Masked Face-Net



شکل ۲) ساختار مجموعه داده SMFD

### ۳- روش پیشنهادی

در این مقاله برای دسته بندی چهره افراد، یک مدل بر مبنای یادگیری انتقالی عمیق پیشنهاد شده است. در ادامه به بررسی جزئیات معماری مدل پیشنهادی و دیگر بخش های مدل خواهیم پرداخت.

#### ۳-۱- مجموعه داده

مجموعه داده های استفاده شده در این مقاله شامل دو مجموعه داده MFN و SMFD است [۱،۳]. مجموعه داده MFN یک مجموعه داده مصنوعی است که دارای ۱۳۷۰۱۶ تصویر می باشد. تصاویر این مجموعه داده به دودسته تقسیم می گردد: (۱) افرادی که به صورت صحیح ماسک زده اند (CMFD) و (۲) افرادی که به طور نادرست از ماسک استفاده کرده اند (IMFD).

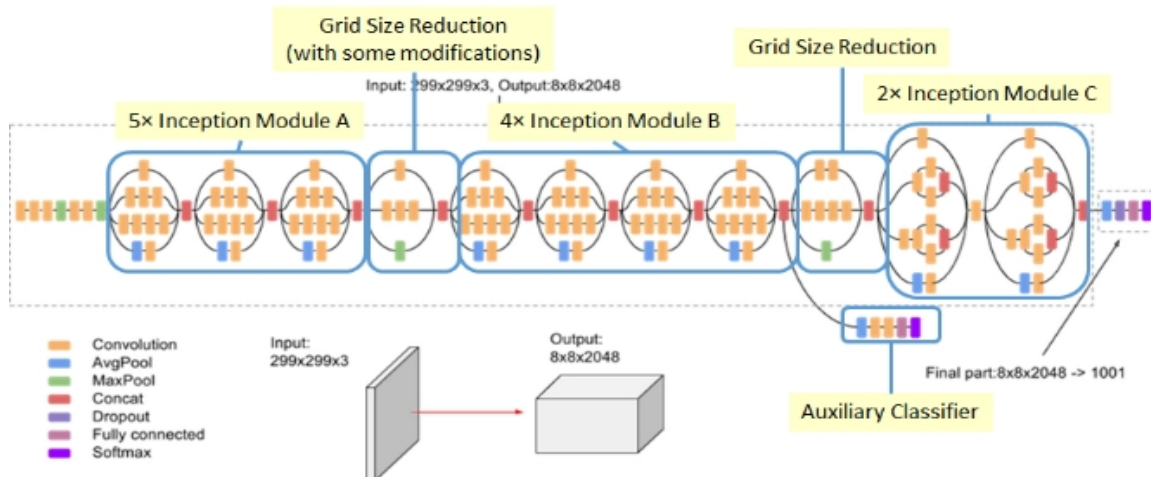
دسته دوم خود به سه زیر دسته تقسیم می شوند که عبارتند از: (۱) چانه بدون پوشش، (۲) بینی بدون پوشش و (۳) بینی و دهان بدون پوشش. باتوجه به در نظر گیری حالات مختلف استفاده غیر صحیح از ماسک، مجموعه داده شامل جزئیات بیشتری برای آموزش و تشخیص

شده افرادی که ماسک زده اند (SMFD) به ترتیب به دقت ۹۹٪/۶۴ و ۹۹٪/۴۹ دست یافتند [۱۱].

در همین سال فوزیه ایرم ای اوکور و همکارانش [۱۵] از مجموعه داده آزمایشگاه های سیستم تشخیص ماسک صورت بدون محدودیت ISL-UMFD استفاده کردند و با سه معماری مدل ResNet-50، Inception v3 و MobileNetV2 به ترتیب به دقت های ۹۵٪/۶۳، ۹۸٪/۲۰ و ۹۷٪/۹۱ دست یافتند. در سال ۲۰۲۱ محمد لویی و همکارانش [۴] در مقاله دیگری مجموعه داده Kaggle-medical mask را که از ترکیب دو مجموعه داده عمومی Medical Masks Dataset (MMD) و Face Mask Dataset (FMD) استفاده کردند که با معماری ResNet-50 به عنوان مدل از پیش آموزش دیده و از YOLOv2 برای تشخیص ماسک استفاده نمودند و به دقت متوسط ۸۱٪ دست یافته اند. میلیتنت و همکاران در سال ۲۰۲۰ با استفاده از معماری VGG16 توانستند به دقت ۹۶٪ در تشخیص ماسک دست یابند [۲]. این مقاله بر روی بردهای زبری پای پیاده سازی شده است.

صابر اجاز و همکارش نیز در سال ۲۰۱۹ با استفاده از معماری از پیش آموزش دیده Face-net، برای استخراج ویژگی، هشت حالت متفاوت را بر روی سه مجموعه داده مختلف AR، Mask Face Dataset و IIIIT v1 بررسی نموده و به ترتیب در بهترین حالت و حالت متوسط به دقت ۸۲٪/۴ و ۹۸٪/۸ دست یافتند [۱۶]. آنها از ماشین بردار پشتیبان (SVM) برای طبقه بندی تصاویر استفاده کردند. رویکردی که آنها داشتند یک رویکرد دو مرحله ای بوده است. ابتدا تشخیص ماسک را با MTCNN انجام داده اند و سپس تشخیص چهره را در مرحله دوم انجام داده اند.

باتوجه به موارد فوق به این نتیجه می رسیم که معماری های مختلف و نحوه تنظیم فرآیندهای آنها بر روی یک مجموعه داده می تواند تفاوت های قابل توجهی را در دقت سیستم ها ایجاد کند. معماری Inception v3 توانسته است در مصالحه<sup>۲</sup> بین تعداد پارامترها و دقت تشخیص به یک توازن نسبتاً خوبی دست پیدا کند. از این رو، روش پیشنهادی در این مقاله نیز از معماری Inception v3 برای استخراج ویژگی استفاده می کند. از طرفی، اکثر روش های مربوط به مقالات قبلی تنها خروجی دو کلاس (چهره دارای ماسک و بدون ماسک) داشته اند که در کاربردهای عملی، علاوه بر دو کلاس فوق، نیاز است که سیستم همچنین توانایی تشخیص چهره هایی را داشته باشد که ماسک را به فرم ناصحیح استفاده می کنند. از این رو در این مقاله سعی شده است که به این موضوع توجه ویژه ای گردد و لایه های تماماً متصل قرار گرفته در خروجی شبکه Inception v3 به نوعی طراحی گردند تا روش پیشنهادی توان دسته بندی تصاویر ورودی به سه کلاس فوق، را داشته باشد. همچنین این مقاله بر اساس پایگاه داده های در دسترس، به منظور آموزش درست و دقیق، از ترکیب دو مجموعه داده MFN و SMFD استفاده می کند.



شکل ۳) معماری مدل از پیش آموزش دیده Inception v3 [۲۲، ۱۸]

اولین بار در سال ۲۰۲۱ معرفی شد. لایه های آن ترکیبی از لایه کانولوشن  $1 \times 1$ ،  $3 \times 3$ ،  $5 \times 5$  و  $7 \times 7$  است که بانک های فیلتر خروجی آنها در یک واحد به هم متصل شده اند. لایه کانولوشن  $7 \times 7$  به شبکه Inception V3 اضافه شده است و می تواند ویژگی ها را در چند سطح استخراج کند. به عبارتی یک استخراج کننده ویژگی چندسطحی است [۲۱، ۲۲]. مدل از پیش آموزش دیده Inception V3 تعداد پارامترهای کمتر، دقت بالاتر (در پایگاه داده اعتبار سنجی ImageNet) و حجم کمتری در مقایسه با مدل های VGG16، VGG19 و Resnet50V2 دارد و همچنین در مقایسه با مدل های MobileNetV2 و DenseNet (در پایگاه داده اعتبار سنجی ImageNet) دقت بالاتری دارد [۲۴].

برای پیاده سازی روش فوق از کتابخانه Keras و TensorFlow استفاده شده است. یکی از چالش های این مسئله وجود تصاویر با اندازه های مختلف است که برای حل آن اندازه تمامی تصاویر ورودی به Inception v3 تغییر می یابد که سایز پیش فرض معماری Inception v3 است [۲۵]. حجم تصاویر استفاده شده از کل مجموعه داده ها به منظور آموزش، اعتبارسنجی<sup>۵</sup> و تست به ترتیب ۷۰٪، ۱۵٪ و ۱۵٪ در نظر گرفته شده است. همچنین در حین آموزش شبکه، تکنیک افزایش داده برای جلوگیری از بیش برآزش مورد استفاده قرار می گیرد.

در روش پیشنهادی، همانطور که توضیح داده شد، از شبکه پیش آموزش دیده Inception v3 برای استخراج ویژگی استفاده می شود. سپس خروجی شبکه فوق به عنوان ورودی به لایه ادغام متوسط<sup>۱</sup> داده می شود اساساً هدف، کاهش اندازه داده ها است و سپس خروجی با استفاده از لایه مسطح<sup>۶</sup> به یک بردار یک بعدی تبدیل می گردد. بردار فوق وارد لایه های مخفی می شود که بخشی از شبکه عصبی تماماً متصل جهت دسته بندی داده های ورودی است. لایه حذف تصادفی<sup>۴</sup> نیز به منظور جلوگیری از بیش برآزش مورد استفاده قرار می گیرد. در آخر، خروجی لایه فوق به لایه بیشینه هموار<sup>۱</sup> جهت دسته بندی تحویل داده می شود.

است. در شکل ۱ ساختار دسته های مجموعه داده MFN مشاهده می شود. مجموعه داده SMFD نیز دارای ۱۵۷۰ تصویر در دو بخش افرادی که ماسک دارند و افرادی که ماسک ندارند می باشد که ساختار آن در شکل ۲ مشاهده می شود.

به دلیل اینکه هدف مقاله دسته بندی تصاویر چهره ورودی به سه کلاس دارای ماسک، بدون ماسک و فرم ناصحیح است، از این رو از تصاویر هر دو پایگاه داده به طور هم زمان برای آموزش، اعتبارسنجی و تست استفاده شده است.

برای دسته بندی تصاویر ورودی، ابتدا تصویر وارد یک سیستم آشکارسازی چهره می شود تا بخش ناحیه صورت را در تصویر شناسایی کند. بدین منظور از روش viola jones جهت آشکارسازی ناحیه صورت در تصویر استفاده شده است [۲۰]. سپس ناحیه چهره به عنوان ورودی به شبکه پیشنهادی داده می شود تا بعد از انجام پردازش های لازم آن را به سه دسته دارای ماسک، بدون ماسک و استفاده ناصحیح از ماسک طبقه بندی کند که به ترتیب با کادر مستطیلی رنگ سبز، قرمز و نارنجی در ناحیه صورت از تصویر مشخص می شوند.

### ۳-۲- معماری شبکه

همان طور که قبلاً نیز بحث شد، برای استخراج ویژگی در شبکه پیشنهادی از معماری Inception v3 استفاده شده است. همچنین روش پیشنهادی سعی در یک طراحی مناسب در بخش دسته بندی با استفاده از لایه های تماماً متصل<sup>۴</sup> است تا عمل دسته بندی به سه کلاس مذکور را با دقت بالایی انجام دهد. در شکل ۳ معماری Inception v3 و در شکل ۴ بلوک دیگرام ساختار پیشنهادی ارائه شده است.

مدل Inception یک شبکه عصبی کانولوشن است که معمولاً برای کاربردهای از نوع دسته بندی اشیاء مورد استفاده قرار می گیرد. همچنین به عنوان GoogLeNet نیز شناخته می شود. شبکه مذکور از مجموعه داده های ImageNet برای فرآیند آموزش استفاده می کند و

اولیه، بخش مهمی از یک آموزش موفق را تشکیل می‌دهد. از این‌رو، در این روش فرایند یادگیری از ابتدا و با وزن‌های تصادفی شروع نمی‌شود بلکه با آغاز از الگوهای یادگرفته از حل یک مسئله متفاوت آغاز می‌شود و امکان ایجاد یک مدل صحیح را فراهم می‌آورد [۸،۹].

برای این‌کار ابتدا وزن‌ها و پارامترهای مربوط به شبکه آموزش دیده پایه Inception V3 منجمد<sup>۱۹</sup> می‌شوند و فرایند آموزش و بروزرسانی وزن‌ها تنها برای لایه‌های تماماً متصل بخش دسته‌بند اعمال می‌شود. بعد از آموزش لایه‌های تماماً متصل، وزن‌ها و پارامترهای مربوط به لایه‌های آخر شبکه پایه Inception v3 از حالت انجماد خارج شده و فرایند آموزش دوباره ادامه می‌یابد. بدین طریق، وزن‌های لایه‌های آخر شبکه پایه بر مبنای مسئله مورد نظر که در این مقاله تشخیص ماسک است، به‌طور دقیق تنظیم<sup>۲۰</sup> می‌شود. از این‌رو، چالش‌هایی همچون



شکل ۴) معماری شبکه مدل پیشنهادی

وزن‌های از پیش آموزش دیده معماری Inception V3 بر اساس پایگاه داده ImageNet می‌باشد. برای آموزش شبکه از تابع بهینه‌ساز ADAM استفاده شده و از ۶۰ دوره تناوب<sup>۲۱</sup> برای برازش<sup>۲۲</sup> استفاده شده است. تابع خطا استفاده شده در روش فوق آنتروپی متقاطع طبقه‌های<sup>۲۳</sup> بوده و از معیار دقت برای ارزیابی سیستم استفاده شده است.

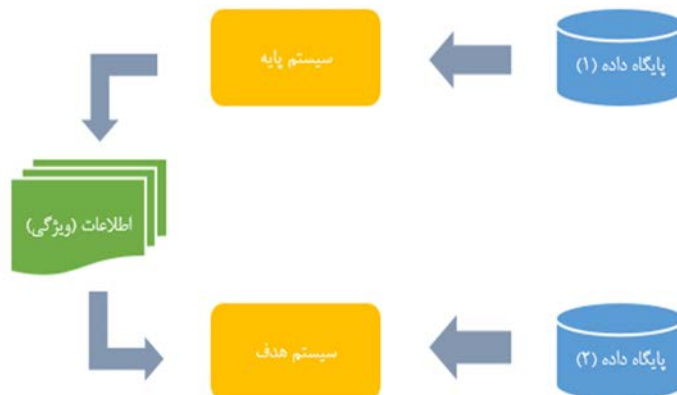
### ۳-۳- افزایش تصویر

افزایش داده<sup>۲۴</sup> یکی از تکنیک‌هایی است که می‌توان برای جلوگیری از بیش برازش<sup>۲۵</sup> استفاده کرد. به‌طور کلی می‌توان گفت که روش افزایش داده، یک سری داده جدید به‌صورت مصنوعی بر پایه مجموعه داده اصلی ایجاد می‌کند که باعث بهبود دقت و کاهش خطا می‌گردد [۷]. همچنین برای ایجاد یک مدل یادگیری عمیق دقیق، مدل باید به‌خوبی آموزش ببیند و به همین منظور باید تا حد ممکن دارای خطای اعتبارسنجی پایینی باشد. تقویت مجموعه داده به ما کمک می‌کند تا مجموعه داده جامع‌تری داشته باشیم [۵].

برای دستیابی به هدف فوق، با ایجاد یکسری تغییرات روی تصاویر مجموعه داده، از جمله انجام چرخش<sup>۲۶</sup>، بزرگ‌نمایی<sup>۲۷</sup>، تغییر در رنگ و شیفت<sup>۲۸</sup> به بالا یا پایین، تصاویر جدیدی تولید شده و اندازه مجموعه داده افزایش یافته است [۶].

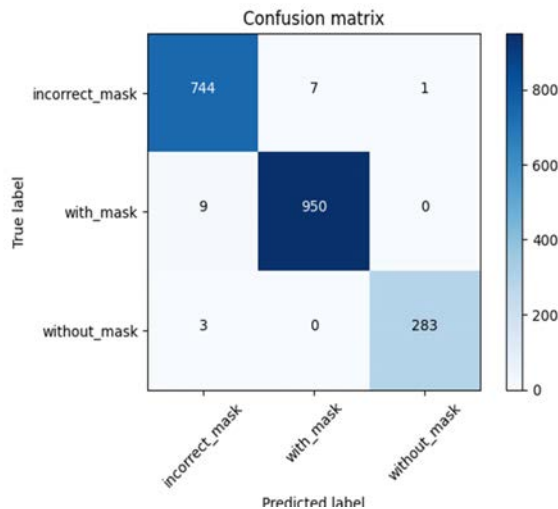
### ۳-۴- یادگیری انتقالی

یادگیری انتقالی<sup>۱۸</sup> به این معنی است که می‌توان از ویژگی‌ها و وزن‌های مدل آموزش دیده برای آموزش دادن یک مدل جدید استفاده کرد [۱۷،۱۰]. با یادگیری انتقالی، اساساً سعی می‌کنیم از آموخته‌های خود در یک شبکه آموزش دیده برای یادگیری شبکه جدید استفاده کنیم. در این حالت اطلاعات وزن‌های شبکه قبلی به عنوان پارامترهای اولیه به شبکه فعلی انتقال داده می‌شوند. به عبارت دیگر، این روش اجازه می‌دهد که از توزیع‌های متفاوت برای آموزش و آزمایش استفاده شود و از آنجایی که شبکه عصبی کانولوشنی ویژگی‌های مهم یک تصویر را استخراج می‌کند، استفاده از یک مجموعه داده مناسب برای آموزش



شکل ۵) ساختار یادگیری انتقالی با استفاده از اطلاعات مربوط به سیستم پایه و به‌کارگیری آن‌ها در سیستم هدف، دیگر نیازی به آموزش سیستم هدف از ابتدا نخواهد بود.





شکل ۶) ماتریس سردرگمی با ۱۲۸ نرون در هر دو لایه مخفی

جدول ۱) گزارش طبقه‌بندی با ۱۲۸ نرون در هر دو لایه مخفی

	Precision	Recall	F1-score
Incorrect_mask	98.9	98.5	98.7
With_mask	99.3	99.3	99.1
Without_mask	99.8	99.5	99.1
Accuracy			99.4
Macro_avg	98.9	98.7	98.9
Weighted_avg	98.7	98.8	98.7

جدول ۲ مقایسه بین نتایج به‌دست‌آمده برای هفت حالت مختلف

را مورد بررسی قرار می‌دهد. همان‌طور که مشاهده می‌شود بهترین نتایج در حالتی حاصل شده است که بخش دسته‌بند دارای دو لایه مخفی با ۱۲۸ نرون در هر لایه باشد (نتایج دقیق‌تر برای حالت مذکور در جدول ۱ نشان‌داده شده است). شکل ۷ نمودار دقت و میزان خطا را برای حالت فوق نشان می‌دهد. تعداد دوره تناوب برای آموزش شبکه، در حالتی که وزن‌های معماری Inception v3 منجمد هستند، برابر با ۴۰ در نظر گرفته شده و سپس به مدت ۲۰ بار در حالت غیرمنجمد برای لایه‌های آخر معماری Inception v3 تکرار می‌شود. در شکل ۶ نیز ماتریس سردرگمی<sup>۲۲</sup> به‌صورت گرافیکی نشان‌داده شده است.

ماتریس فوق اطلاعات دقیق‌تری را در مورد عملکرد سیستم پیشنهادی و خطاهای رخ‌داده نشان می‌دهد. همان‌طور که در شکل ۶ نشان‌داده شده است، بیشترین خطای دسته‌بندی مابین کلاس دارای ماسک و کلاس فرم ناصحیح است. دقت و توانایی سیستم پیشنهادی برای تشخیص افراد دارای ماسک ۹۹/۳ درصد، بدون ماسک ۹۹/۸ درصد و فرم ناصحیح ۹۸/۹ درصد می‌باشد.

در جدول ۳ نیز مقایسه روش پیشنهادی با دیگر کارهای ارائه شده در این حوزه نمایش داده می‌شود. البته به دلیل اینکه کارهای مختلف از یک پایگاه‌داده یکسان برای آموزش و ارزیابی شبکه استفاده نمی‌کنند، شاید انجام مقایسه، کار منصفانه‌ای نباشد. با این‌وجود، برخی از کارها با اینکه (به‌جز روش معرفی شده در [۱۵]) تصاویر ورودی را به‌جای سه دسته، به دو دسته کاملاً مجزا شامل ماسک و بدون ماسک

تعداد داده‌های محدود پایگاه داده و زمان مورد نیاز برای فاز آموزش را می‌توان با استفاده از تکنیک یادگیری انتقالی مدیریت کرد [۲۳].

در شکل ۵ ساختار یادگیری انتقالی نمایش داده شده است. همان‌طور که مشاهده می‌شود آموزش‌های انجام یافته بر روی سیستم پایه (از طریق پایگاه داده اول) به سیستم هدف منتقل شده و سیستم هدف فرایند آموزش را از ابتدا شروع نمی‌کند؛ بلکه با استفاده از اطلاعات پایگاه داده ۲، اطلاعات دریافتی را برای هدف خاصی برورسانی می‌نماید.

#### ۴- نتایج روش پیشنهادی

برای ارزیابی مدل پیشنهادی از یک سیستم مجهز به واحد پردازنده مرکزی Core i7-8850U (CPU) با رم ۱۶ گیگابایت و کارت گرافیکی Nvidia GeForce MX150 با حافظه گرافیکی چهار گیگابایت استفاده شده است.

معیارهای مختلفی برای ارزیابی عملکرد روش پیشنهادی وجود دارد؛ مانند معیار دقت که مقدار آن برابر با تعداد مواردی است که سیستم به‌درستی پیش‌بینی کرده است و معمولاً این معیار برای مقایسه بین مدل‌ها مورد استفاده قرار می‌گیرد. در این مقاله علاوه بر معیار دقت از معیارهای یادآوری<sup>۲۱</sup>، دقت و میانگین هارمونیک یادآوری و دقت (f1-score) استفاده شده است. معیارهای ارزیابی استفاده شده توسط روابط زیر بیان می‌گردد:

$$Accuracy = \frac{TP + TN}{(TP + FP) + (TN + FN)} \quad (۱)$$

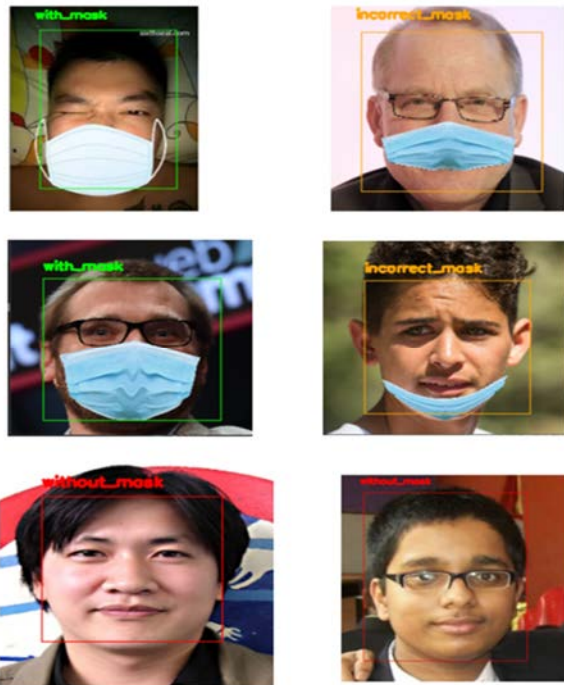
$$Recall = \frac{TP}{(TP + FN)} \quad (۲)$$

$$Precision = \frac{TP}{(TP + FP)} \quad (۳)$$

$$F1Score = 2 * \frac{Precision * Recall}{(Precision + Recall)} \quad (۴)$$

در این مقاله برای رسیدن به پاسخ‌های مطلوب، طراحی‌های مختلفی برای بخش دسته‌بند که شامل لایه‌های تماماً متصل هستند، صورت‌گرفته است که نتایج روش پیشنهادی در ۷ حالت زیر مورد بررسی قرار می‌گیرید:

- ۳۲ نرون در یک‌لایه مخفی
- ۳۲ نرون در هر لایه مخفی (دارای دو لایه مخفی)
- ۶۴ نرون در یک‌لایه مخفی
- ۶۴ نرون در هر لایه مخفی (دارای دو لایه مخفی)
- ۱۲۸ نرون در یک‌لایه مخفی
- ۱۲۸ نرون در هر لایه مخفی (دارای دو لایه مخفی)
- ۱۲۸ نرون در هر لایه مخفی (دارای سه لایه مخفی)



شکل ۸) نمونه‌هایی از خروجی مدل پیشنهادی برای سه دسته مختلف

الگوریتم ارائه شده در [۳] برای تشخیص افراد دارای ماسک، همچون روش پیشنهادی این مقاله، از یادگیری انتقالی بر مبنای معماری پایه Inception v3 استفاده می‌کند. با این حال هر دو روش دارای تفاوت‌هایی هستند. اول اینکه روش پیشنهادی، همانطور که توضیح داده شد، چهره افراد را به سه دسته دسته‌بندی می‌کند در صورتی که خروجی مقاله مذکور تنها دارای دو دسته ماسک و بدون ماسک است.

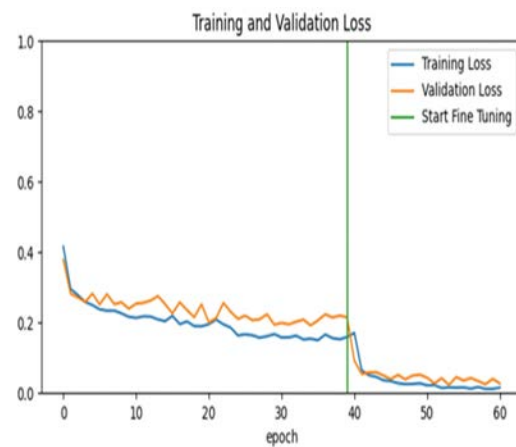
روش پیشنهادی برای رسیدن به هدف فوق، در فرایند آموزش، علاوه بر پایگاه داده SMFD (پایگاه داده به کاررفته در [۳])، از پایگاه داده دیگری بنام MFN نیز استفاده می‌نماید (پایگاه داده فوق همان طور که قبلاً توضیح داده شد تصاویر چهره‌هایی که به فرم ناصحیح از ماسک استفاده می‌نمایند را نیز شامل می‌شود).

جدول ۲) عملکرد روش پیشنهادی در حالت‌های مختلفی که برای بخش دسته‌بند شبکه در نظر گرفته شده است.

Neuron#	Train accuracy	Val accuracy	Train loss	Val loss	Image size	Layer	Epoch
۳۲	98.8%	98.6%	2.2%	2.4%	299×299	1	60
۳۳	99.0%	98.9%	2.2%	1.4%	299×299	2	60
۶۴	99.1%	98.9%	2.3%	3.8%	299×299	1	60
۶۴	99.3%	99.1%	1.2%	2.4%	299×299	2	60
۱۲۸	99.3%	98.8%	1.2%	3.6%	299×299	1	60
۱۲۸	99.47%	99.2%	1.4%	2.5%	299×299	2	60
۱۲۸	99.5%	98.7%	1.3%	2.3%	299×299	3	60



الف



ب

شکل ۷) الف) میزان تغییرات دقت با ۱۲۸ نرون در هر دو لایه مخفی (ب) میزان تغییرات خطا با ۱۲۸ نرون در هر دو لایه مخفی

طبقه‌بندی می‌کند (که دارای چالش کمتری است)، دقتی نسبتاً برابر با روش پیشنهادی دارند. با بررسی تصاویر پایگاه داده می‌توان دریافت که شباهت زیادی مابین کلاس استفاده غیرصحیح و دسته ماسک وجود دارد و زمانی که دسته‌بندی به سه کلاس انجام می‌شود، دقت سیستم علی‌رغم افزایش قابلیت آن، احتمالاً کاهش پیدا خواهد کرد.

جدول ۳) مقایسه کارهای مختلف ارائه شده برای تشخیص ماسک با روش ارائه شده در این مقاله (نتایج عددی مربوط به دقت ارائه شده برگرفته از مقالات مربوطه است)

	Accuracy	Architecture	Dataset	Year
[12]	93%	MobilenetV2	Kaggle-medical mask	2021
[11]	99.63%	ResNet-50	RMFD	2021
[11]	99.49%	ResNet-50	SMFD	2021
[15]	95.63%	ResNet-50	ISL-UMFD	2021
[15]	98.20%	MobilenetV2	ISL-UMFD	2021
[15]	97.91%	InceptionV3	ISL-UMFD	2021
[4]	81%	ResNet-50	Kaggle-medical mask	2021
[2]	96%	VGG16	-----	2020
[16]	98%	Face net	IIIT version 1	2019
[3]	99.9%	Inception v3	SMFD	2020
Proposed model	99.33%	Inception v3	MFN, SMFD	2021

2020 11th IEEE Control and System Graduate Research Colloquium (ICSGRC), pp. 106-110. IEEE, 2020

- [3] G. J. Chowdary, N. S. Punn, S. K. Sonbhadra, and S. Agarwal, "Face mask detection using transfer learning of InceptionV3," International Conference on Big Data Analytics, pp. 81-90 Springer, Cham, 2020.
- [4] M. Loey, G. Manogaran, M. Hamed, N. Taha, N. Eldeen, and M. Khalifa, "Fighting Against COVID-19: A Novel Deep Learning Model Based on YOLOv2 with ResNet-50 for Medical Face Mask Detection" Sustainable cities and society, vol.65, 2021
- [5] C. Shorten and T. M. Khoshgoftaar, "A survey on image data augmentation for deep learning," J. Big Data, vol. 6, no. 1, 2019.
- [6] A. Mikolajczyk and M. Grochowski, "Data augmentation for improving deep learning in image classification problem," In 2018 international interdisciplinary PhD workshop (IPhDW), pp. 117-122. IEEE, 2018.
- [7] S. C. Wong, A. Gatt, V. Stamatescu, and M. D. McDonnell, "Understanding data augmentation for classification: When to warp?," In 2016 international conference on digital image computing: techniques and applications (DICTA), pp. 1-6. IEEE, 2016.
- [8] W. M. Kouw and M. Loog, "An introduction to domain adaptation and transfer learning," arXiv preprint arXiv:1812.11806, 2018.
- [9] S. J. Pan and Q. Yang, "A survey on transfer learning," IEEE Trans. Knowl. Data Eng., vol. 22, no. 10, pp. 1345-1359, 2010.
- [10] M. Hussain, J. J. Bird, and D. R. Faria, "A study on CNN transfer learning for image classification In UK Workshop on computational Intelligence, pp. 191-202. Springer, Cham, 2018.
- [11] M. Loey, G. Manogaran, M. H. N. Taha, and N. E. M. Khalifa, "A hybrid deep transfer learning model with machine learning methods for face mask detection in the era of the COVID-19 pandemic," Measurement (Lond.), vol. 167, no. 108288, p. 108288, 2021.
- [12] P. Nagrath, R. Jain, A. Madan, R. Arora, P. Kataria, and J. Hemanth, "SSDMNV2: A real time DNN-based face mask detection system using single shot multibox detector and MobileNetV2," Sustain. Cities Soc., vol. 66, no. 102692, p. 102692, 2021.
- [13] M. Jiang, F. Xinqi, and Y. Hong, "Retinamask: A face mask detector." arXiv preprint arXiv:2005.03950, 2020.

از طرف دیگر، الگوریتم پیشنهادی در این مقاله معماری‌های مختلف بخش دسته‌بند (شامل تعداد لایه‌های مختلف با تعداد نرون-های متفاوت) را بررسی می‌کند تا بهترین طراحی ممکن را برای هدف موردنظر انجام دهد که با دسته‌بند مقاله مذکور دارای تفاوت‌هایی است. شکل ۸ چند نمونه از خروجی الگوریتم پیشنهادی را برای تصاویر ورودی از هر دسته نشان می‌دهد.

## ۵- نتیجه‌گیری و کارهای آینده

در این مقاله یک روشی با کمک یادگیری انتقالی و شبکه عصبی کانولوشنال Inception v3، برای دسته‌بندی افراد به سه کلاس ماسک، بدون ماسک و فرم ناصحیح پیشنهاد شده است. شبکه فوق از مجموعه داده MFN و SMFD برای آموزش و ارزیابی استفاده می‌کند. مدل پیشنهادی این قابلیت را دارد که هم بر روی تصویر و هم بر روی ویدئو عمل تشخیص را انجام دهد. برای افزایش دقت روش پیشنهادی، طراحی‌های مختلفی برای بخش دسته‌بند مدل با تعداد لایه‌ها و نرون‌های مختلف بررسی شده است تا حالت بهینه مشخص گردد. در نهایت روش پیشنهادی توانسته در بهترین حالت در مرحله آموزش به دقت 99.47 درصد و در مرحله آزمایش نیز به دقت 99.33 درصد با استفاده از معماری Inception v3 و تکنیک افزایش داده دست یابد. از مواردی که در آینده می‌شود مورد بررسی قرار داد، می‌توان به طراحی سیستم‌هایی اشاره کرد که در جهت هوشمندسازی رعایت پروتکل‌های بهداشتی، تشخیص ماسک صورت و رعایت فاصله‌گذاری اجتماعی را به صورت هم‌زمان انجام می‌دهند.

## مراجع

- [1] A. Cabani, K. Hammoudi, H. Benhabiles, and M. Melkemi, "MaskedFace-Net-A dataset of correctly/incorrectly masked face images in the context of COVID-19." Smart Health, vol.19, 2021.
- [2] S. V. Militante and N. V. Dionisio, "Real-Time Facemask Recognition with Alarm System using Deep Learning,"



- [21] C. Szegedy, W. Liu, Y. Jia, P. Sermanet, S. Reed, D. Anguelov, D. Erhan, V. Vanhoucke, and A. Rabinovich., "Going deeper with convolutions. In Proceedings of the IEEE Conference on Computer Vision and Pattern Recognition", pages 1–9, 2015
- [22] C. Szegedy, V. Vanhoucke, S. Ioffe, J. Shlens and Z. Wojna, "Rethinking the Inception Architecture for Computer Vision," 2016 IEEE Conference on Computer Vision and Pattern Recognition (CVPR), pp. 2818-2826, 2016
- [23] K. Weiss, T. M. Khoshgoftaar, and D. Wang, "A survey of transfer learning," J. Big Data, vol. 3, no. 1, 2016.
- [24] Keras Team, "Keras applications," Keras.io. [Online]. Available: <https://keras.io/api/applications/>.
- [25] X. Liu, C. Wang, Y. Hu, Z. Zeng, J. Bai, and G. Liao, "Transfer learning with convolutional neural network for early gastric cancer classification on magnifying narrow-band imaging images," In 2018 25th IEEE International Conference on Image Processing (ICIP), pp. 1388-1392. IEEE, 2018.
- [26] A. Arjmand, S. Meshgini and R. Afrouzian, Breast tumor detection using convolutional neural network in MRI images, Journal of Advances Signal Processing, vol. 3, no. 2, pp. 109-117, 2019
- M. Peyrohoseini nejad, A. Karami, Automatic small defect detection in unmanned aerial vehicle images of power transmission lines using DRSPDL, Journal of Advances Signal Processing, vol. 4, no. 2, pp. 159-170, 2020.
- [14] N. Ud Din, K. Javed, S. Bae, and J. Yi, "A novel GAN-based network for unmasking of masked face," IEEE Access, vol. 8, pp. 44276–44287, 2020.
- [15] F. I. Eyiokur, H. K. Ekenel, and A. Waibel, "Unconstrained face-mask & face-hand datasets: Building a computer vision system to help prevent the transmission of COVID-19," arXiv preprint arXiv:2103.08773, 2021.
- [16] M. S. Ejaz and M. R. Islam, "Masked Face Recognition Using Convolutional Neural Network," 2019 International Conference on Sustainable Technologies for Industry 4.0 (STI), pp. 1-6, 2019
- [17] J. Yosinski, J. Clune, Y. Bengio, and H. Lipson, "How transferable are features in deep neural networks?," Advances in neural information processing systems, vol. 27, 2014.
- [18] D. Vasan, M. Alazab, S. Wassan, H. Naeem, B. Safaei, and Q. Zheng, "IMCFN: Image-based malware classification using fine-tuned convolutional neural network architecture," Comput. netw., vol. 171, no. 107138, p. 107138, 2020.
- [19] "Advice for the public on COVID-19 – World Health Organization," Who.int. [Online]. Available: <https://www.who.int/emergencies/diseases/novel-coronavirus-2019/advice-for-public>
- [20] P. Viola and M. Jones, "Rapid object detection using a boosted cascade of simple features," Proceedings of the 2001 IEEE Computer Society Conference on Computer Vision and Pattern Recognition. CVPR 2001, pp. 1-1, 2001.

زیر نویس ها

- <sup>1</sup> Support Vector Machine
- <sup>2</sup> Hyper Parameter
- <sup>3</sup> Trade off
- <sup>4</sup> Fully Connected layers
- <sup>5</sup> Validation
- <sup>6</sup> AvgPool
- <sup>7</sup> Flatten
- <sup>8</sup> Dropout
- <sup>9</sup> Softmax layer
- <sup>10</sup> epoch
- <sup>11</sup> Fit
- <sup>12</sup> Categorical Cross Entropy
- <sup>13</sup> Data augmentation
- <sup>14</sup> overfitting
- <sup>15</sup> Rotate
- <sup>16</sup> Zoom
- <sup>17</sup> Shift
- <sup>18</sup> Transfer learning
- <sup>19</sup> Freeze
- <sup>20</sup> Fine-tuning
- <sup>21</sup> Recall
- <sup>22</sup> Confusion matrix